



بررسی آزمایشگاهی تاثیر گرداد شکن های هرمی بر ضریب دبی سرریز نیلوفری در شرایط استغراق

فرزانه صیادزاده^۱، سید حبیب موسوی جهرمی^{۲*}، حسین صدقی^۱، امیر خسروجردی^۱

^۱گروه مهندسی سیستم های کشاورزی، واحد علوم و تحقیقات، دانشگاه آزاد اسلامی، تهران، ایران

^۲گروه عمران-مهندسی و مدیریت منابع آب، واحد شهر قدس، دانشگاه آزاد اسلامی، تهران، ایران

تاریخچه داوری:

دریافت: ۱۳۹۷-۰۸-۰۹

بازنگری: ۱۳۹۷-۱۱-۰۳

پذیرش: ۱۳۹۷-۱۱-۰۵

ارائه آنلاین: ۱۳۹۷-۱۱-۱۷

کلمات کلیدی:

سرریز نیلوفری

گرداد

ضریب دبی

مطالعه آزمایشگاهی

گرداد شکن هرمی

خلاصه: سرریز نیلوفری در بالادست درون مخزن سد، جهت تخلیه سیلان از مخازن به پایین دست احداث می شود. مشکل اصلی که معمولاً در این سرریز اتفاق می افتد، جریان چرخشی و گرداد بوده که در شرایط استغراق افزایش یافته و باعث کاهش بازده تخلیه سیلان در مخزن خواهد شد. انجام راهکارهایی نظیر استفاده از انواع مختلف گرداد شکن ها به منظور افزایش ضریب دبی و راندمان سرریز نیلوفری، از اهمیت ویژه ای برخوردار است. در این تحقیق با طراحی و ساخت مدل فیزیکی سرریز نیلوفری، تاثیر ابعاد و تعداد گرداد شکن های هرمی بر ضریب دبی سرریز با انجام ۲۰۹ آزمایش در آزمایشگاه هیدرولیک دانشگاه آزاد اسلامی واحد علوم و تحقیقات تهران مورد بررسی قرار گرفت. با استفاده از نتایج به دست آمده و بهره گیری از رگرسیون غیر خطی، معادلاتی تجربی جهت تعیین ضریب دبی جریان برای سرریز نیلوفری با گرداد شکن های هرمی به دست آمد. با مقایسه آماری نتایج روابط به دست آمده با داده های آزمایشگاهی، ضریب تبیین برای گرداد شکن های هرمی مثلثی و مربعی به ترتیب برابر 0.99 و 0.926 حاصل شد. همچنین به منظور بررسی هر یک از عوامل تاثیرگذار بر ضریب دبی جریان، آنالیز حساسیت نیز انجام گرفت. نتایج این تحقیق نشان داد که گرداد شکن های هرمی با آرایش شش تایی سبب افزایش میانگین عملکرد سرریز برابر $11/80$ درصد الی $16/13$ درصد نسبت به سرریز شاهد می شوند.

خواهد بود. با افزایش ارتفاع آب، جریان مستعرق و به حالت روزنه

عمل می کند و به اصطلاح کنترل دبی در گلوگاه یا تبدیل اتفاق می افتد. با افزایش بیشتر ارتفاع آب، استغراق کامل سرریز صورت می گیرد و دبی جریان توسط توپل پر به صورت مجازی تحت فشار کنترل می گردد [۲]. معادله دبی در حالت کنترل تاج مطابق رابطه ۱ و برای کنترل روزنه طبق رابطه ۲ برای سرریز های نیلوفری به صورت زیر است [۲ و ۳]:

$$Q = C_d \cdot L \cdot H^{1.5} \quad (L = 2\pi R) \quad (1)$$

$$Q = C_d \cdot A \cdot \sqrt{2g H_a} \quad (A = \pi r^2) \quad (2)$$

که مطابق شکل ۱، در این روابط Q دبی عبوری از سرریز نیلوفری،

۱- مقدمه

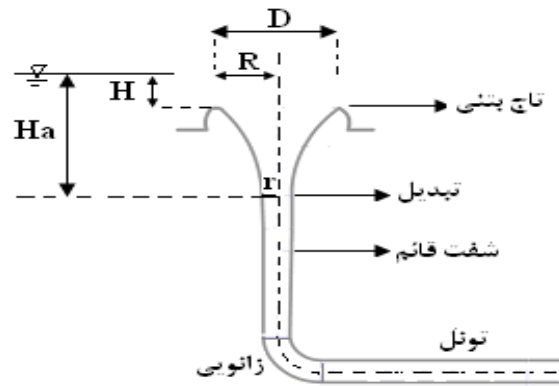
سرریز نیلوفری یکی از انواع سرریزهای است که جهت تخلیه سیلان مخازن سدها به کار برده می شود. این نوع سرریز وقتی که محدودیت مکانی برای ساخت دیگر سرریزها وجود دارد و بیشتر در سدهای خاکی درون مخزن و جدای از بدنه سد احداث می شود که موجب کاهش ریسک آبشتگی و اشباع شدن پوسته پایین دست سد می گردد [۱]. مطابق شکل ۱ این سرریزها از چند قسمت تاج بتنی، تبدیل یا گلوگاه، شفت قائم، زانویی و توپل با شیب کم تشکیل یافته است. در سرریز های نیلوفری هرگاه ارتفاع آب روی تاج سرریز کم باشد، جریان به صورت آزاد و کنترل دبی جریان در تاج سرریز

* نویسنده عهده دار مکاتبات: h-mousavi@srbiau.ac.ir

حقوق مؤلفین به نویسنده‌گان و حقوق ناشر به انتشارات دانشگاه امیرکبیر داده شده است. این مقاله تحت لیسانس آفرینندگی مردمی (Creative Commons License) در دسترس شما قرار گرفته است. برای جزئیات این لیسانس، از آدرس <https://www.creativecommons.org/licenses/by-nc/4.0/legalcode> دیدن فرمائید.



نیلوفری، از اهمیت ویژه‌ای برخوردار است. فاتور و بکچگیا^[۱۱]، شروع وضعیت استغراق را در سرریز نیلوفری بررسی نمودند و نشان دادند که این وضعیت ناپایدار و شدید است و اگر سرریز مستغرق باشد مقدار دبی $1/34$ برابر دبی حالت آزاد می‌باشد. توانا^[۱۲] و همکاران [۱۲]، با مدل آزمایشگاهی سرریز نیلوفری به مطالعه تاثیر تعداد و ارتفاع تیغه‌های گرداب شکن بر ضریب دبی پرداختند و نتیجه گرفتند که تیغه‌ها موجب افزایش ضریب تخلیه می‌شود و با افزایش عمق استغراق، ضریب تخلیه سرریز کاهش می‌یابد. موسوی^[۱۳] و همکاران [۱۳]، با مدل آزمایشگاهی تاثیر تیغه‌های گرداب شکن بر مشخصات جریان در آستانه استغراق سرریزهای نیلوفری با مقاطع مربعی و دایره‌ای را بررسی نمودند و به این نتیجه رسیدند که تاثیر تعداد گرداب شکن تیغه‌ای در سرریز نیلوفری با مقاطع دایره‌ای بیشتر از مقاطع مربعی است و افزایش تعداد تیغه‌ها تا یک حد مشخص موجب بهبود مشخصات جریان (از جمله در شرایط استغراق) می‌شوند. کشکولی^[۱۴] و همکاران [۱۴]، به وسیله مدل فیزیکی سرریز نیلوفری تاثیر تیغه‌های گرداب شکن در اشکال مختلف بر ضریب دبی را مطالعه نمودند. نتایج حاصله نشان داد که گرداب شکن‌ها به ارتفاع $3/5$ سانتیمتر و ضخامت 20 میلیمتر با آرایش شش تایی، سبب افزایش دبی به میزان $17/8$ درصد می‌شوند. نوحانی^[۱۵] [۱۵]، با مدل آزمایشگاهی سرریز نیلوفری به بررسی تأثیر تعداد و ضخامت تیغه‌های گرداب شکن بر ضریب تخلیه سرریز نیلوفری پرداخت و نتیجه گرفت که تأثیر توأم افزایش تعداد و ضخامت تیغه‌ها موجب افزایش ضریب تخلیه سرریز نیلوفری می‌شود. موسوی جهرمی^[۱۶] و همکاران [۱۶]، با استفاده از یک مدل فیزیکی سرریز نیلوفری تاثیر تیغه‌های گرداب شکن زاویه دار در آرایش‌های مختلف بر ضریب دبی را بررسی نمودند. نتایج حاصله نشان داد که آرایش شش تایی و زاویه 45 درجه تیغه گرداب شکن بیشترین تأثیر را در کاهش ارتفاع آب و افزایش ضریب دبی دارد. موسوی جهرمی و الستی^[۱۷] [۱۷]، با استفاده از مدل آزمایشگاهی و انواع تیغه‌های گرداب شکن به بررسی تاثیر آنها بر هیدرولیک جریان روی سرریز نیلوفری پرداختند. نتایج حاصله نشان



شکل ۱. مقطع عرضی سرریز نیلوفری
Fig. 1. MGS cross section details

C_d ضریب دبی سرریز، L طول تاج سرریز، R شعاع تاج سرریز، A مساحت گلوگاه یا تبدیل سرریز، r شعاع گلوگاه یا تبدیل سرریز، H ارتفاع آب روی تاج سرریز، g ارتفاع از سطح آب روی تاج سرریز تا گلوگاه تبدیل با لحظه افت و g شتاب ثقل می‌باشد.

مشکل اصلی که معمولاً در سرریزهای نیلوفری اتفاق می‌افتد، جریان چرخشی^۱ و گرداب^۲ است که در شرایط استغراق افزایش می‌یابد و باعث کاهش ضریب دبی و کاهش بازده تخلیه سیالاب در مخزن خواهد شد [۳]. انوار^[۴] [۴]، نشان داد که دوران گرداب از جمله پارامترهای مهم در مطالعات جریان‌های گردابی است. کوئیک^[۵] [۵]، به بررسی نحوه توزیع سرعت محوری در جریان گردابی پرداخت و نتیجه گرفت که این مؤلفه سرعت بسیار کوچک و اندکی بیشتر از 10 درصد از مؤلفه سرعت مماسی است. زیلینسکی و ویلمونت^[۶] [۶]، داگت و کئولگان^[۷] [۷]، انوار^[۸] [۸] و همکاران [۹]، جین^[۹] [۹] و ادگارد^[۱۰] [۱۰] مطالعات آزمایشگاهی متعددی را برای تاثیر کشش سطحی و لزجت در مدل جریان‌های گردابی بررسی و محدوده تاثیر هر یک را توصیه نمودند. انجام راهکارهایی نظیر استفاده از انواع مختلف گرداب شکن‌ها^[۱۰] به منظور افزایش ضریب دبی سرریز‌های

- 1 -Spiral Flow
- 2 - Vortex
- 3 - Anwar
- 4 - Quick
- 5 - Zielinski & Villemonte
- 6 - Daggett & Keulegan,
- 7 - Anwar et al.
- 8 - Jain et al.
- 9 - Odgaard
- 10 -Vortex Breakers

11 - Fattor & Bacchigia

12 - Tavana et al.

13 - Mousavi et al.

14 - Kashkoli et al.

15 - Nohani

16 - Musavi-Jahromi et al.

17 - Musavi-Jahromi & Alasti

جدول ۱. محدوده اعداد رینولدز و وبر برای حذف اثرات لزحت و کشش سطحی
Table 1. Recommended range for negligible impact of the Weber Number and Reynolds Number

محقق	عدد رینولدز (R_e)	عدد وبر (W_e)
انوار و همکاران (1978)	$\rho V^2 H / \sigma > 100$	$\rho Q / \nu H > 2 \times 10^4$
داغت و کنولگان (1974)	$\rho V^2 d / \sigma > 120$	$\rho Q / \nu d > 3 \times 10^4$
پادمانابهان و هکر (1984)	$\rho V^2 d / \sigma > 600$	$Vd / \nu > 7 / 7 \times 10^4$
جین و همکاران (1978)	$\rho V^2 d / \sigma > 120$	$Vd / \nu > 5 \times 10^4$

بالایی از لحاظ سازه‌ای می‌باشند. تاکنون اثر گرداب شکن‌های هرمی در تضعیف گرداب سرریزهای نیلوفری مورد توجه محققین سازه‌های هیدرولیکی قرار نگرفته است. از اهداف اصلی این تحقیق، به دست آوردن رابطه آزمایشگاهی ضریب دبی سرریز نیلوفری با نصب گرداب شکن‌های هرمی و تعیین ابعاد و تعداد گرداب شکن هرمی برتر در بهبود عملکرد ضریب دبی می‌باشد.

۲- مواد و روش‌ها

۱- آنالیز ابعادی

در این تحقیق از روش باکینگهام برای آنالیز ابعادی استفاده شده است که ابتدا پارامترهای موثر بر پدیده جریان گردابی و ضریب دبی سرریز نیلوفری استخراج گردید و سپس بی بعد سازی صورت گرفت. رابطه‌ای به صورت زیر با استفاده از متغیرهای موثر در مساله ایجاد گردید:

$$g(C_d, \rho, \sigma, \mu, g, V, H, D, h, t, b, n) = 0 \quad (3)$$

که C_d ضریب دبی سرریز نیلوفری، ρ جرم مخصوص، σ کشش سطحی، H لزجت دینامیک، g شتاب ثقل، V سرعت سیال، H ارتفاع آب روی تاج سرریز نیلوفری، D قطر تاج سرریز نیلوفری، h ارتفاع گرداب شکن‌ها، t ضخامت گرداب شکن‌ها، b عرض گرداب شکن‌ها، n تعداد گرداب شکن‌ها می‌باشند. پس از آنالیز ابعادی رابطه زیر استخراج گردید:

$$C_d = f(F_r^{-2}, \frac{H}{D}, \frac{b}{D}, \frac{t}{D}, R_e^{-1}, W_e^{-1}, n) \quad (4)$$

که R_e عدد رینولدز، F_r عدد فرود و W_e عدد وبر برای جریان عبوری از سرریز هستند. در این تحقیق قاعده هرم‌ها به صورت مربع و مثلث متساوی الاضلاع در نظر گرفته شد، لذا عرض و ضخامت

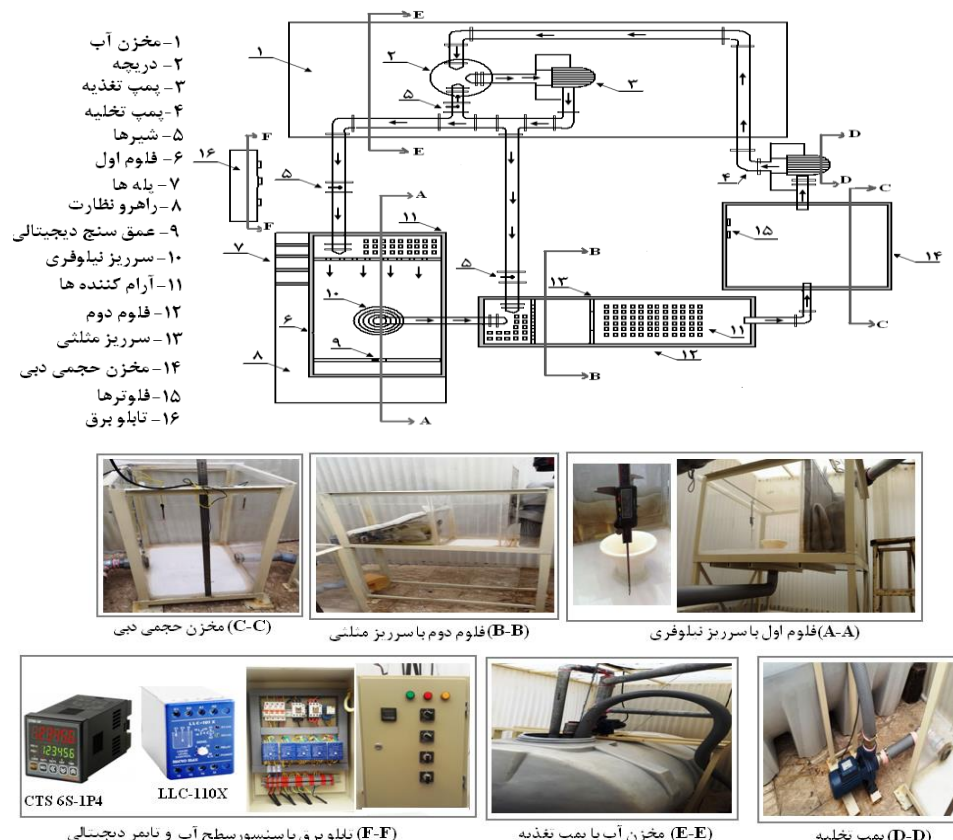
داد که هر چه طول تیغه‌ها بیشتر گردد ضریب دبی افزایش می‌یابد. نوحانی و موسوی جهرمی^۱، با ساخت مدل فیزیکی سرریز نیلوفری تأثیر تعداد و ضخامت تیغه‌های گرداب شکن را بر قدرت گرداب و بازدهی سیستم تخلیه، مورد بررسی قرار دادند و نتیجه گرفتند که تیغه‌ها باعث افزایش ۱۰ تا ۲۰ درصد ضریب دبی بسته به نوع سرریز نیلوفری (لبه تیز یا لبه پهن) و تعداد تیغه‌ها، نسبت به حالت عدم استفاده از این نوع تیغه‌ها می‌شود. نوحانی و جمالی امام قیس^۲، با مدل آزمایشگاهی تأثیر تیغه‌های گرداب شکن در آرایش شش تایی را بر ضریب تخلیه سرریز نیلوفری مطالعه نمودند. نتایج نشان داد که استفاده از تیغه‌ها باعث تاخیر در تشکیل گرداب می‌شود و تیغه ضد گرداب باله ای نسبت به تیغه مستطیلی تأثیر بیشتری بر افزایش ضریب تخلیه دارد. گرداب شکن تیغه‌ای مستطیلی نسبت به تیغه مثلثی در استغراق زیاد تأثیر بیشتری در افزایش ضریب دبی دارد و افزایش طول گرداب شکن‌ها به سمت خارج دهانه سرریز بیشترین تأثیر را بر افزایش راندمان تخلیه سرریز دارد. همچنانی تأثیر طول گرداب شکن مستقل از شکل آنها می‌باشد و تا میزان ۲۰٪ قطر سرریز روند افزایشی دارد و بیشتر از آن روند رو به کاهش می‌باشد. یکی از مشکلات و خلاصهای تحقیقاتی موجود در زمینه سرریزهای نیلوفری، تشکیل گرداب در آنهاست که باعث کاهش ضریب دبی این سرریزها می‌شود. در این تحقیق مدل آزمایشگاهی سرریز نیلوفری، جهت بررسی تأثیر گرداب شکن‌های هرمی با قاعده مربعی و مثلثی در ابعاد مختلف برای آرایش‌های سه تایی، چهار تایی و شش تایی بر ضریب دبی سرریز در شرایط استغراق استفاده شد. از لحاظ معماري، در سازه‌های هرمی انتقال نیروها از نقطه اوج سازه به بخش‌های تحتانی ساده‌تر بوده و دارای سطح اتکا بیشتر و پایداری

۱ - Nohani & Musavi-Jahromi

۲ - Nohani & Jamali-Emamgheis

جدول ۲. محدوده متغیرهای آزمایشگاهی تاثیرگذار تحقیق حاضر بر ضریب دبی سرریز نیلوفری
Table 2. Range of effective parameters in the present study

n	H/D	b/D	h/D	F _r	متغیر
۰-۳-۴-۶	۰/۱۰۶-۰/۶۲۲	۰/۰۸۳-۰/۲۰۸	۰/۰۶۸-۰/۱۷۰	۱/۸ - ۳/۴	محدوده



شکل ۲. پلان و نمای کلی مدل فیزیکی در آزمایشگاه
Fig. 2. Plan of physical model in the experimental setup

شکل ۲ در آزمایشگاه هیدرولیک دانشگاه آزاد اسلامی واحد علوم تحقیقات تهران، تاثیر ابعاد و تعداد گرداب شکن هرمی با دو قاعده مربعی و مثلثی در حالت کنترل روزنہ (شرایط استغراق) بر ضریب دبی سرریز موردنظری قرار گرفت و تعداد ۲۰۹ آزمایش در محدوده دبی ۵/۵ الی ۷/۶ لیتر بر ثانیه و ارتفاع آب روی تاج از ۲۷/۶ میلی متر تا ۱۵۰ میلی متر انجام شد. به طور کلی مدل شامل یک مخزن آبگیری، فلوم اول(شامل سرریز نیلوفری)، فلوم دوم (شامل سرریز مثلثی)، یک مخزن اندازه گیری دبی به روش حجمی، سرریز نیلوفری، سرریز مثلثی، پمپ ها، تجهیزات انتقال آب، تجهیزات بای پس آب، تجهیزات اندازه گیری و گرداب شکن ها در نظر گرفته شد. مخزن آبگیری از جنس پلی اتیلن سه لایه به حجم ۳۰۰۰ لیتر، فلوم اول از جنس پلکسی گلاس به ارتفاع ۶۰ سانتی متر، عرض ۱۲۰

در قاعده باهم برابر می باشند. بر اساس محدوده توصیه شده اعداد وبر و رینولدز توسط محققین (جدول ۱) و شرایط دبی مینیمم آزمایشگاهی(Q) این تحقیق برابر ۵/۷۲۴ لیتر بر ثانیه و قطر توپل سرریز نیلوفری (d) برابر ۸/۵ سانتیمتر، از اعداد وبر و رینولدز به دلیل تاثیر کم در گرداب صرف نظر شد. جدول ۲ محدوده متغیرهای آزمایشگاهی تاثیرگذار در این پژوهش را نشان می دهد. بنابراین معادله نهایی آنالیز ابعادی در این تحقیق به صورت زیر بیان شد:

$$C_d = f(F_r^{-2}, \frac{H}{D}, \frac{h}{D}, \frac{b=t}{D}, n) \quad (5)$$

۲-۲- مدل آزمایشگاهی

در این تحقیق با ساخت مدل فیزیکی سرریز نیلوفری مطابق

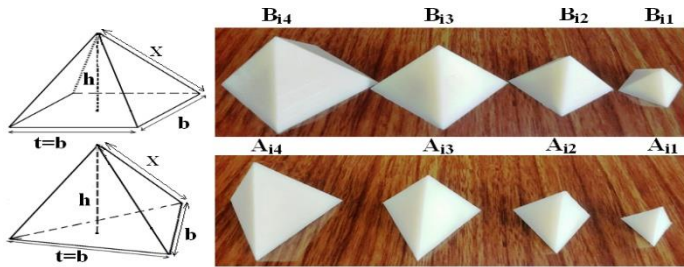
جدول ۳. پارامترهای هندسی گردادشکن‌های هرمی
Table 3. Geometric parameters of pyramidal vortex breakers

X (mm)	حجم کل (mm ³)	مساحت کل (mm ²)	سطح جانبی (mm ²)	b/D	h/D	t=b (mm)	h (mm)	نوع گردادشکن هرمی	علامت
20	941/1	692	173/2	0/083	0/068	20	16/3	مثلثی نوع اول	A _{i1}
21/6	2173/3	1164/9	764/9					مربعی نوع اول	B _{i1}
30	3182/2	1558/8	389/7	0/125	0/102	30	24/5	مثلثی نوع دوم	A _{i2}
32/4	7350	2623/6	1723/6					مربعی نوع دوم	B _{i2}
40	7551/7	2773/6	692/8	0/167	0/136	40	32/7	مثلثی نوع سوم	A _{i3}
43/2	17440	4666/5	3066/5					مربعی نوع سوم	B _{i3}
50	14722/4	4328/4	1082/5	0/208	0/170	50	40/8	مثلثی نوع چهارم	A _{i4}
54	34021	7285/1	4785/1					مربعی نوع چهارم	B _{i4}

در مخزن اندازه گیری دبی به روش حجمی مدت زمانی را که سطح آب از یک سر سنسور به ابتدای سنسور دیگر در ارتفاع های مشخص می رسد، از طریق یک صفحه نمایشگر دیجیتالی به نام کانتر تایمر مدل آتونیکس CTS 6S-1P4 با دقت تا ۶ رقم اعشار روی تابلو برق قرائت شد. با معلوم بودن حجم بین دو سنسور و زمان ثبت شده، دبی حجمی بدست آمد. برای بالا رفتن دقت، اندازه گیری ها برای ۳ بازه زمانی انجام شد. پس از کالیبره سرریز مثلثی با ثابت شدن ارتفاع آب روی سرریز نیلوفری در فلوم اول، ارتفاع آب روی تاج سرریز به وسیله عمق سنج دیجیتالی با دقت ۰/۰۱ میلی متر اندازه گیری و همزمان دبی خروجی از تونل سرریز به وسیله سرریز مثلثی محاسبه شد و به این ترتیب یک نقطه از منحنی دبی- اشل سرریز نیلوفری شاهد (M) محاسبه گردید. در فلوم اول و دوم از توری های شبکه ریز آلومینیمی به عنوان آرام کننده استفاده شد.

در این تحقیق، گردادشکن هرمی با قاعده مثلثی (A_{ij}) و مربعی (B_{ij}) و آرایش سه تایی ($i=3$ ، چهار تایی ($i=4$) و شش تایی ($i=6$) در چهار ابعاد متفاوت ($j=1, 2, 3, 4$) برای دبی های مختلف مورد آزمایش قرار گرفتند. پارامترهای هندسی گردادشکن ها در جدول ۳ و شکل ۳ و تعداد آزمایشات در جدول ۴ نشان داده شده است. مدل USBR سرریز نیلوفری بر اساس ضوابط و معیارهای حاکم که توسط ارائه شده است، طراحی شد. برای ساخت مدل سرریز نیلوفری پس از طراحی، مختصات منحنی سرریز در نرم افزار Catia وارد شد و سپس به فایل های قابل تبدیل دستگاه CNC انتقال یافت و مدل سرریز نیلوفری بدست آمد. در شکل ۴ ابعاد شبیه سوره سرریز نیلوفری

سانتی متر و طول ۱۲۰ سانتی متر، فلوم دوم از جنس پلکسی گلاس به ارتفاع ۶۰ سانتی متر، عرض ۵۰ سانتی متر و طول ۱۸۰ سانتی متر و مخزن اندازه گیری دبی به روش حجمی از جنس پلکسی گلاس به حجم ۴۴۰ لیتر احداث گردیدند. طول و عرض فلوم اول و موقعیت سرریز نیلوفری نسبت به دیواره های فلوم و جهت جریان ورودی، به گونه ای طراحی شد که اثرات منفی دیواره ها و جهت جریان ورودی بر جریان گردابی حذف گردد [۲۱ و ۲۰]. برای چرخش آب، از دو پمپ با محدوده دبی ۲۵۰ تا ۱۱۰۰ لیتر بر دقیقه استفاده شد که یکی به نام پمپ تغذیه برای انتقال آب از مخزن آبگیری به فلوم اول و فلوم دوم استفاده شد و دیگری به نام پمپ تخلیه که آب را از مخزن اندازه گیری دبی به روش حجمی به مخزن آبگیری منتقل می نمود. تعداد سه شیر که یکی پس از پمپ تغذیه برای تنظیم و کنترل دبی، دیگری بر لوله انتقال آب فلوم اول و یکی بر روی لوله انتقال آب فلوم دوم ساخته شد. ابتدا شیر ورودی به فلوم دوم باز شد و کالیبره سرریز مثلثی به وسیله مخزن اندازه گیری دبی به روش حجمی انجام گردید و پس از کالیبره تا انتهای آزمایشات شیر ورودی فلوم دوم بسته ماند. سپس شیر ورودی فلوم اول باز و دبی ۲۰ سانتی متر و با زاویه داخلی ۶۰ درجه) اندازه گیری شد. برای کالیبره نمودن سرریز مثلثی به دیواره های مخزن اندازه گیری دبی به روش حجمی، سنسورهایی که متصل به دستگاه الکترونیکی کنترل سطح مایعات مدل میکرومکس LLC-110X با حساسیت قابل تنظیم از ۱ الی ۲۰ کیلوواهم تعییه گردید. با استفاده از سنسورهای جداگانه ای



شکل ۳. گرداب شکن های هرمی با قاعده مثلثی(A_{ij}) و مربعی(B_{ij})
Fig. 3. Schematic of pyramidal vortex breakers with triangular (A_{ij}) and square (B_{ij}) bases

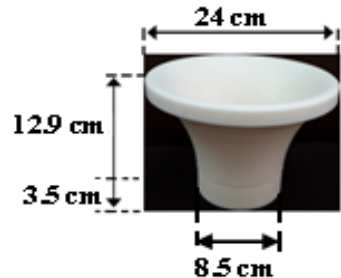
جدول ۴. نام و تعداد آزمایش

Table 4. Definition and number of experimental tests

A_{34}	A_{33}	A_{32}	A_{31}	B_{34}	B_{33}	B_{32}	B_{31}	(شاهد) M	نام آزمایش
10	8	9	9	8	8	8	9	10	تعداد آزمایش
A_{44}	A_{43}	A_{42}	A_{41}	B_{44}	B_{43}	B_{42}	B_{41}	M (شاهد)	نام آزمایش
7	8	9	9	8	8	8	9	10	تعداد آزمایش
A_{64}	A_{63}	A_{62}	A_{61}	B_{64}	B_{63}	B_{62}	B_{61}	M (شاهد)	نام آزمایش
9	7	8	10	6	8	8	8	10	تعداد آزمایش

جريان به صورت نیمه پر سمت دیواره سرریز متمایل شد و جريان آزاد و کنترل جريان در تاج سرریز برقرار گردید (شکل ۵-الف). با افزایش دبی، ضخامت فواره جريان بيشتر و حالت جوشش ورودی سرریز را اشغال نمود و گرداب های کوچک و فرورفتگی جزئی در سطح جريان مشاهده شد و حالت استغراق مؤقتی در جريان ايجاد گردید (شکل ۵-ب). با افزایش دبی، قسمت کنترل به تبدیل قائم منتقل و جريان مستغرق تشکيل شد و کنترل دبی جريان توسط جريان روزنه اي صورت گرفت و گرداب های بزرگتر با هسته هوا نمایان شد (شکل ۵-ج).

۲-۳- تاثير گرداب شکن های هرمی بر منحنی دبی-ايشل سرریز ابتدا منحنی های دبی-ايشل برای سرریز شاهد بدون گرداب شکن (M)، با گرداب شکن هرمی مثلثی (A) و گرداب شکن هرمی مربعی (B) در ابعاد مختلف رای آرایش های سه تایی، چهارتایی و شش تایی در شکل های ۶ الى ۸ ارائه شد. بررسی اين نمودارها در برای بخش کنترل روزنه (شرایط استغراق) نشان می دهد که به ازاي دبی ثابت، وجود گرداب شکن هرمی ارتفاع آب روی تاج سرریز را بين ۱۵ تا ۷۵ درصد کاهش می دهد و به ازاي ارتفاع های ثابت آب روی تاج، گرداب شکن هرمی باعث افزایش قابل توجه دبی عبوری می گردد. همچنان نتایج اين نمودارها نشان داد که گرداب شکن



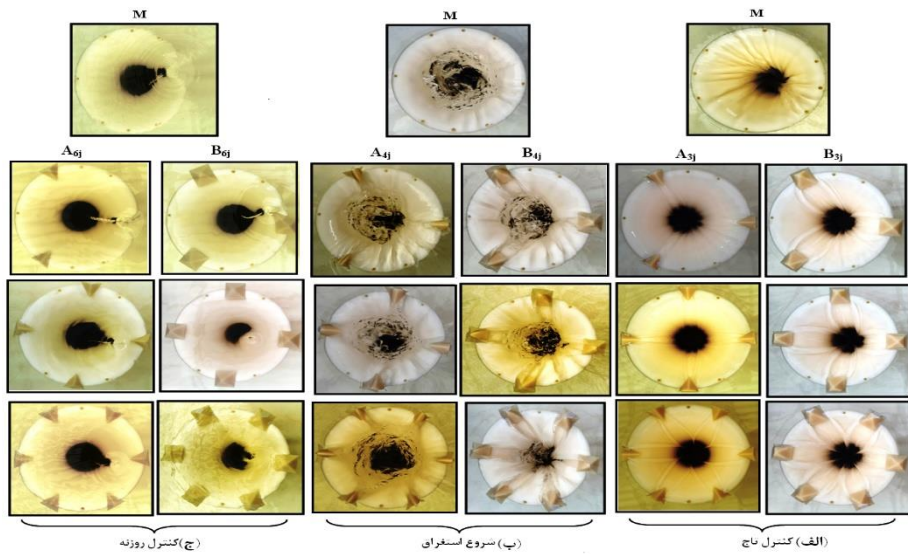
شکل ۴. ابعاد شبپوره سرریز نیلوفری
Fig. 4. Funnel dimension of MGS

به قطر تاج ۲۴ سانتي متر، طول تاج ۷۵/۴ سانتي متر، گلوگاه سرریز به قطر ۸/۵ سانتي متر در فاصله ۱۲/۹ سانتي متری از تاج سرریز و مجرای توnel آب بر هم قطر با تبدیل طراحی شد. طول توnel آب بر برابر ۱ متر و زانویی ۹۰ درجه و شفت قائم می باشد. برای اتصال بدنه سرریز و مجرای توnel آب بر (از جنس لوله پلیکا به قطر ۳ اینچ)، از یک تبدیل به ارتفاع ۳/۵ سانتي متر استفاده شد. جهت ايجاد سطوح صيقلي از پلي آميد صنعتي برای جنس بدنه سرریز، گرداب شکن ها و تبدیل استفاده شد.

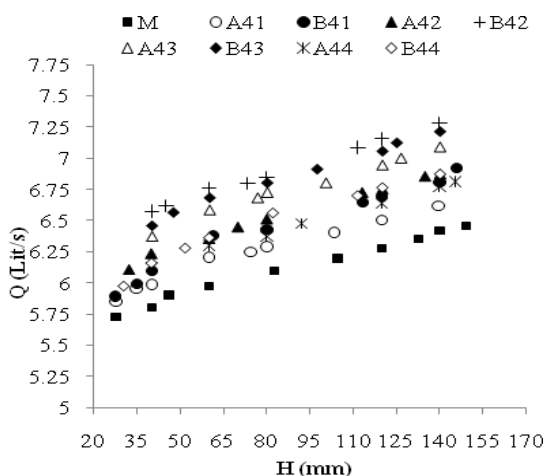
۳-نتایج و بحث

۳-۱-مشاهدات

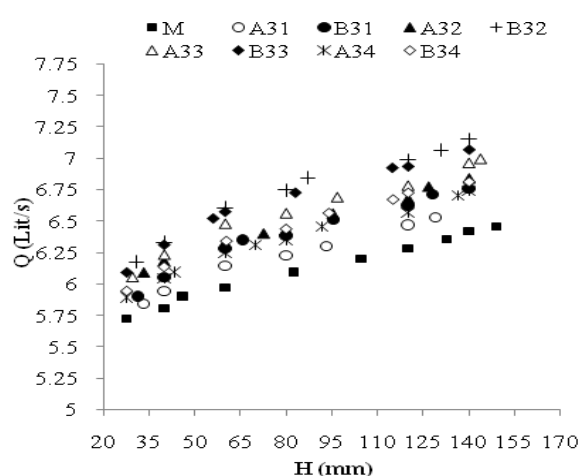
مطابق شکل ۵، در ابتدا که دبی و ارتفاع آب روی سرریز کم است



شکل ۵. مشاهدات با نصب گردابشکن‌های هرمی در آرایشهای مختلف
Fig. 5. Observations by installing pyramidal vortex breakers in different groups



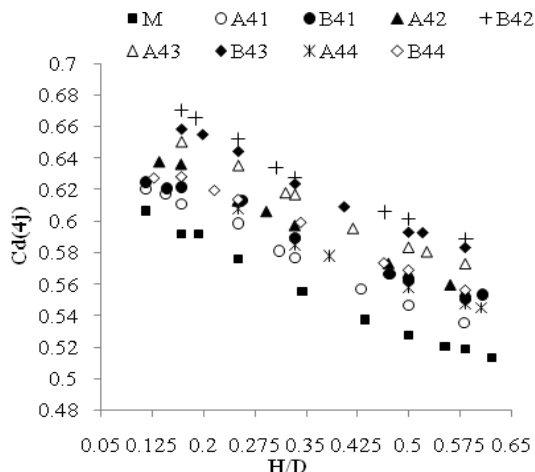
شکل ۷. منحنیهای دبی- اشل با ۴ گردابشکن هرمی
Fig. 7. Head discharge rating variations for 4 pyramidal vortex breakers



شکل ۶. منحنیهای دبی- اشل با ۳ گردابشکن هرمی
Fig. 6. Head discharge rating variations for 3 pyramidal vortex breakers

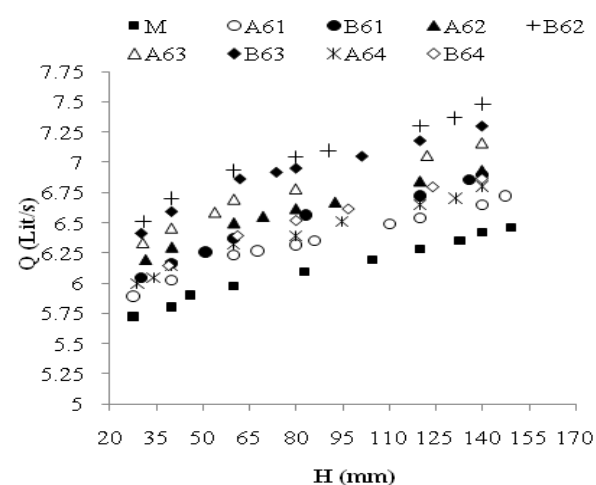
۳-۳- تاثیر عمق استغراق بر ضریب دبی سرریز با گرداب شکن های هرمی
در این تحقیق به دلیل شرایط استغراق در حالت کنترل روزنه،
ضریب دبی از رابطه ۲ برای هر آزمایش محاسبه شد. نمودارهای ضریب
دبی-عمق استغراق در شکل های ۹ الی ۱۱ نشان داده شده است.
نتایج این شکل ها نشان می دهد که روند تغییرات ضریب دبی سرریز
در برابر عمق استغراق برای هر سه آرایش گرداب شکن های هرمی، در
محدوده آزمایشات نزولی است یعنی با افزایش عمق استغراق، کاهش
ضریب دبی مشاهده می شود. با نصب گرداب شکن های هرمی،
ضریب دبی سرریز نیلوفری و در نتیجه راندمان جریان خروجی نسبت

هرمی مربعی نوع دوم (B_{12})، گرداب شکن هرمی مربعی نوع سوم (B_{13}) و گرداب شکن هرمی مثلثی نوع سوم (A_{13}) در آرایش های سه تابی، چهارتایی و شش تایی بر افزایش دبی عبوری سرریز بیش از بقیه گرداب شکن های هرمی تاثیر دارند. مطابق جدول ۳، علت تاثیر بیشتر گرداب شکن هرمی مربعی در تعداد و اندازه یال ها (X)، تعداد و مساحت وجههای جانبی آن بوده که در هرم مربعی وجههای و یال های جانبی چهار تا و برای مثلثی سه عدد می باشد. لذا گرداب شکن هرمی مربعی باعث شکست بیشتر خطوط جریان گردابی و درنتیجه افزایش دبی عبوری خواهد شد.

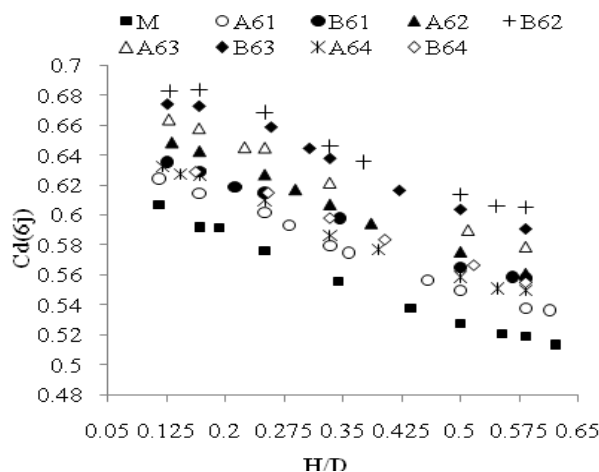


شکل ۱۰. تغییرات ضریب دبی نسبت به عمق استغراق با ۴ گردابشکن هرمی

Fig. 10. Variation of discharge coefficient versus submergence depth for 4 pyramidal vortex breakers

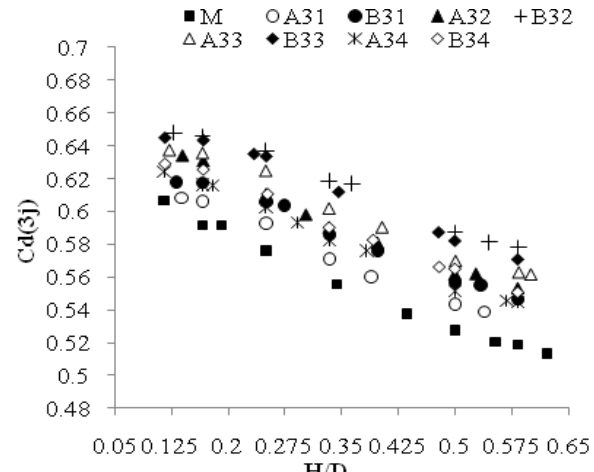


شکل ۸. منحنیهای دبی- اشل با ۶ گردابشکن هرمی
Fig. 8. Head discharge rating variations for 6 pyramidal vortex breakers



شکل ۱۱. تغییرات ضریب دبی نسبت به عمق استغراق با ۶ گردابشکن هرمی

Fig. 11. Variation of discharge coefficient versus submergence depth for 6 pyramidal vortex breakers



شکل ۹. تغییرات ضریب دبی نسبت به عمق استغراق با ۳ گردابشکن هرمی
Fig. 9. Variation of discharge coefficient versus submergence depth for 3 pyramidal vortex breakers

بیشترین تاثیر را در کاهش گرداب و افزایش ضریب دبی سرریز را بر عهده دارند، پیشنهاد می شود. با توجه به مشخصات جدول ۳، به دلیل اینکه تعداد وجه جانبی هرم مربعی چهار تا و برای مثلثی سه عدد می باشد لذا مساحت کل، مساحت جانبی و حجم کل هرم مربعی بیشتر از هرم مثلثی است و در نتیجه هرم مربعی نقش بیشتری در اصلاح مسیر جریان گردابی، شکست خطوط جریان گردابی و افزایش ضریب دبی دارد.

۳-۴- تاثیر تعداد گرداب شکن هرمی بر ضریب دبی سرریز نمودارهای ضریب دبی- تعداد گرداب شکن با عمق استغراق های

به حالت بدون گرداب شکن افزایش یافت و گرداب شکن هرمی مربعی نوع دوم (B_{i2}) با اولویت اول، گرداب شکن هرمی مربعی نوع سوم (B_{i3}) با اولویت دوم و گرداب شکن هرمی مثلثی نوع سوم (A_{i3}) با اولویت سوم در آرایش های سه تایی، چهارتایی و شش تایی بر افزایش ضریب دبی سرریز بیشترین تاثیر را در مقایسه با بقیه گرداب شکن ها از خود نشان دادند. بنابراین برای بخش کنترل روزنه (شرابط استغراق)، گرداب شکن هرمی مثلثی به ضخامت $b=0/D136$ و ارتفاع $h=0/D167$ و گرداب شکن هرمی مربعی به ضخامت $0/102D \leq h \leq 0/136D$ و ارتفاع $0/125D \leq b \leq 0/167D$ که

جدول ۵. محدوده ضریب دبی گردابشکن‌های هرمی منتخبی
Table 5. Range of discharge coefficient for selected pyramidal vortex breakers

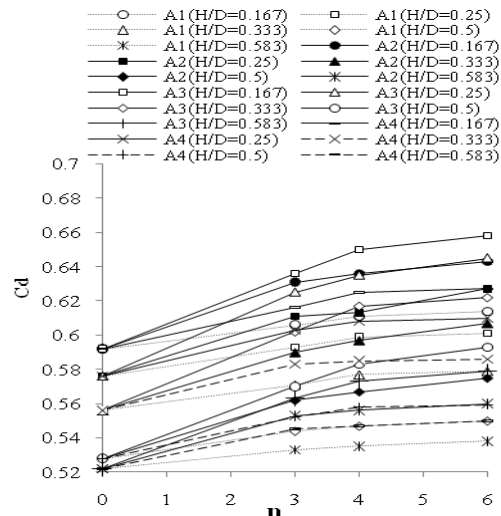
(C_d)	محدوده ضریب دبی	آزمایش
$0/519 \leq C_d \leq 0/592$	M	سرریز شاهد
$0/578 \leq C_d \leq 0/646$	B ₂	
$0/571 \leq C_d \leq 0/644$	B ₃	با آرایش سه‌تایی
$0/563 \leq C_d \leq 0/636$	A ₃	
$0/588 \leq C_d \leq 0/671$	B ₂	
$0/583 \leq C_d \leq 0/659$	B ₃	با آرایش چهارتایی
$0/573 \leq C_d \leq 0/650$	A ₃	
$0/605 \leq C_d \leq 0/684$	B ₂	
$0/590 \leq C_d \leq 0/673$	B ₃	با آرایش شش‌تایی
$0/579 \leq C_d \leq 0/658$	A ₃	

مقایسه با آرایش‌های سه‌تایی و چهارتایی نسبت به سرریز شاهد (M) دارند. علت این است که در آرایش شش‌تایی تعداد یال‌ها و سطوح جانبی برخورد با جریان بیشتر از آرایش چهارتایی و سه‌تایی بوده و آرایش شش‌تایی در افزایش ضریب دبی و کاهش اثر گردابی تاثیر زیادی دارند.

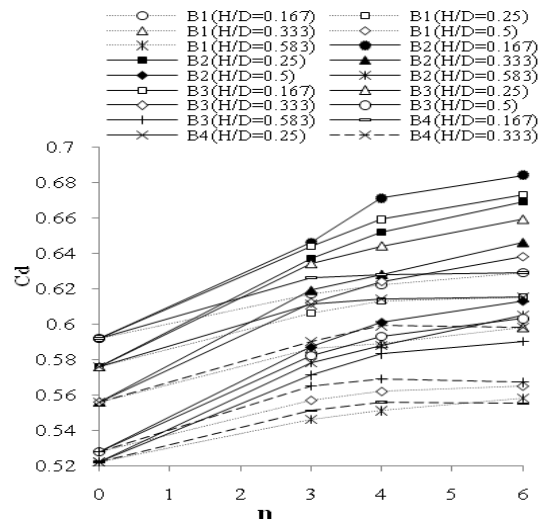
به منظور یافتن بهترین تعداد و ابعاد گرداب‌شکن‌های هرمی در این تحقیق، میانگین عملکرد سرریز (%) برای ضریب دبی طبق رابطه ۶ برای عمق استغراق‌های یکسان در حالت کنترل روزنۀ محاسبه گردید و در شکل ۱۴ با نمودارهای ستونی نشان داده شده است:

$$\% P = \frac{1}{n} \sum \frac{C_{d(i,j)} - C_{d(M)}}{C_{d(M)}} \times 100 \quad (6)$$

که $C_{d(M)}$ ضریب دبی سرریز شاهد و $C_{d(i,j)}$ ضریب دبی با گرداب‌شکن‌های هرمی می‌باشد. نتایج شکل ۱۴ نشان می‌دهد که گرداب‌شکن هرمی مربعی نوع دوم (B_{12})، گرداب‌شکن هرمی مربعی نوع سوم (B_{13}) و گرداب‌شکن هرمی مثلثی نوع سوم (A_{13}) در آرایش‌های سه‌تایی با میانگین عملکرد سرریز به ترتیب برابر $10/76$ ، $10/90$ ، $8/16$ درصد و در آرایش چهارتایی با میانگین عملکرد سرریز به ترتیب برابر $13/34$ ، $12/01$ ، $10/41$ درصد و در آرایش شش‌تایی با میانگین عملکرد سرریز به ترتیب برابر $14/20$ ، $16/13$ و $11/80$ درصد بر افزایش درصد رشد ضریب دبی عبوری سرریز بیش از بقیه



شکل ۱۲. تغییرات ضریب دبی نسبت به تعداد گردابشکن هرمی مثلثی
Fig. 12. Variation of discharge coefficient versus number of triangular pyramidal vortex breaker



شکل ۱۳. تغییرات ضریب دبی نسبت به تعداد گردابشکن هرمی مربعی
Fig. 13. Variation of discharge coefficient versus number of square pyramidal vortex breaker

یکسان در محدوده $0/167 \leq H/D \leq 0/583$ برای گرداب‌شکن هرمی مثلثی و مربعی، به ترتیب در شکل‌های ۱۲ و ۱۳ نشان می‌دهد که هر چه تعداد گرداب‌شکن‌های هرمی از ۳ به ۶ افزایش می‌یابد، ضریب دبی افزایش خواهد یافت. برای مقایسه بیشتر مطابق جدول ۵، در عمق استغراق‌های یکسان آرایش شش‌تایی نشان می‌دهد که گرداب‌شکن هرمی مربعی نوع دوم (B_2)، گرداب‌شکن هرمی مربعی نوع سوم (B_3) و گرداب‌شکن هرمی مثلثی نوع سوم (A_3) با محدوده ضریب دبی به ترتیب $0/590 \leq C_d \leq 0/673$ ، $0/605 \leq C_d \leq 0/684$ و $0/579 \leq C_d \leq 0/658$ بیشترین محدوده افزایش ضریب دبی را در

مانعی در ورودی سرریز موجب ایجاد افت در مسیر جریان می شوند و اثر این افت بیش از اثر اصلاحی گرداب شکن ها است و خود را به صورت افزایش ارتفاع آب روی سرریز، کاهش دی و ضریب دی نشان می دهد. بنابراین در این تحقیق افزایش در ابعاد گرداب شکن هرمی از یک حد مشخص به بعد، توصیه نمی شود.

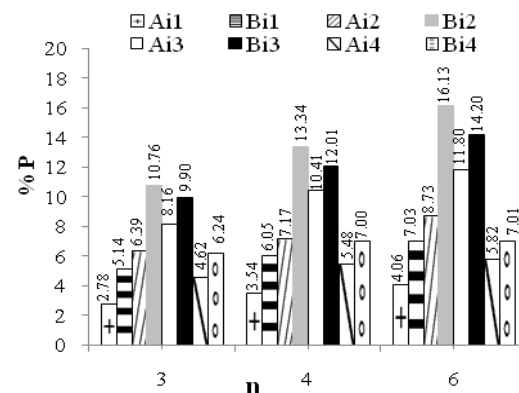
۳-۵- تاثیر عدد فرود بر ضریب دی سرریز با گرداب شکن های هرمی
 تغییرات ضریب دی در برابر عدد فرود [۲۱ و ۲۲]، در شکل های ۱۵ الی ۱۷ نشان داده شده است. نتایج این شکل ها نشان می دهد که به ازای عدد فرود یکسان، ضریب دی سرریز با وجود گرباب شکن هرمی بیشتر از حالت بدون گرداب شکن می باشد. همچنین با افزایش عدد فرود، ضریب دی افزایش می یابد یعنی با کاهش ارتفاع آب روی تاج سرریز (کاهش عمق استغراق)، عدد فرود افزایش می یابد. بنابراین ضریب دی سرریز در همه حالت ها با عدد فرود رابطه مستقیم دارد. به واسطه ارتباط مستقیم درصد ورود هوا به سرریز نیلوفری با افزایش و کاهش ضریب دی نسبت به عدد فرود، روند تغییرات عدد فرود با ضریب دی در کنترل تاج و روزنه با نتایج کبیری سامانی و برقعي [۲۱]، سازگاری نشان می دهد.

۳-۶- استخراج معادلات تجربی بهینه ضریب دی سرریز نیلوفری با گرداب شکن هرمی

در این پژوهش برای انجام تحلیل ها از رگرسیون غیرخطی و با استفاده از نرم افزار آماری SPSS، معادلات تجربی زیر با استفاده از داده های آزمایشگاهی برای برآورد ضریب دی سرریز نیلوفری با گرداب شکن هرمی مثلثی طبق معادله ۷ و گرداب شکن هرمی مربعی طبق معادله ۸ در حالت کنترل روزنه (شرایط استغراق) سرریز استخراج شد:

$$C_d = 0.721 \times (\exp(\frac{H}{D}))^{-2.646} + 45.82 \frac{b}{D} - 56.064 \frac{h}{D} + 0.013(n)^{0.54} + 1.304(F_r)^{-1.138} - 0.279 \quad (7)$$

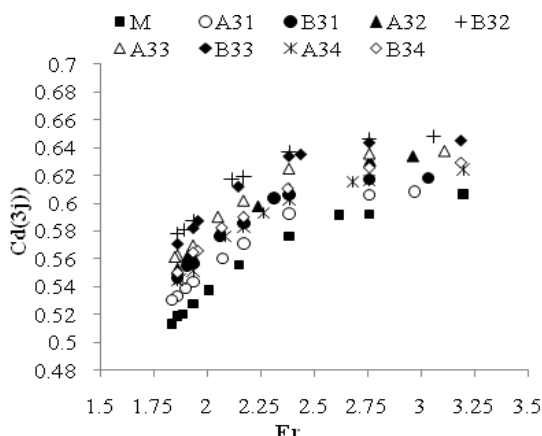
$$C_d = 0.556 \times (\exp(\frac{H}{D}))^{-2.528} + 53.01 \frac{b}{D} - 65 \frac{h}{D} + 0.032(n)^{0.417} + 1.024(F_r)^{-0.729} - 0.26 \quad (8)$$



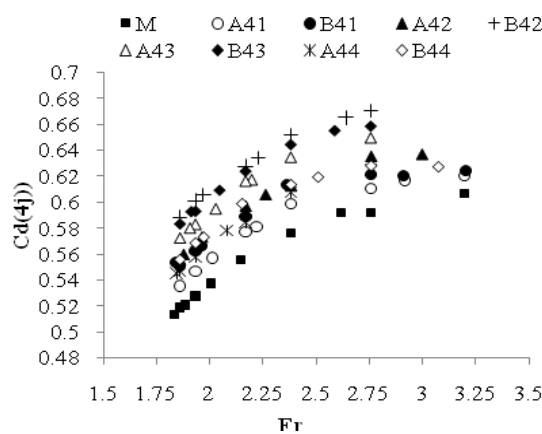
شکل ۱۴. تغییرات میانگین عملکرد سرریز نسبت به تعداد گردابشکن هرمی مربعی و مثلثی

Fig. 14. Variation of discharge coefficient performance versus number of square and triangular pyramidal vortex breaker

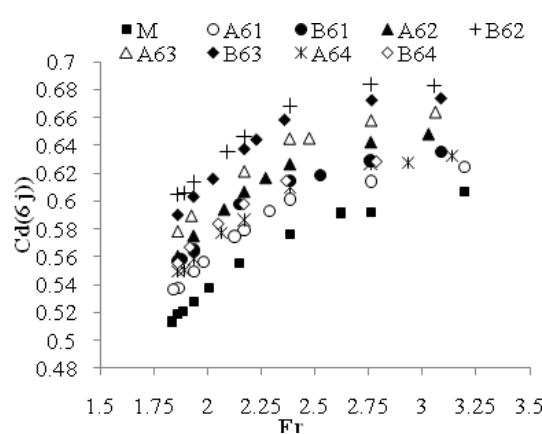
گرداب شکن های هرمی تاثیر دارند. برای شرایط استغراق با آرایش شش تایی، گرداب شکن های هرمی مربعی به دلیل شرایط هندسی باعث شکست بیشتر خطوط جریان، انحراف آنها به صورت مسیر مستقیم به سمت خروجی، کاهش اثر گردابه ها و ایجاد گرداب های نسبتاً ماندگار در مقایسه با بقیه آرایش ها می شود. لذا نتایج ضریب دی در عمق استغراق های یکسان آرایش شش تایی نشان داد که میانگین عملکرد سرریز برای گرداب شکن هرمی مربعی به ابعاد b/D=0/102 و h/D=0/125 برابر ۱۶٪ و برای گرداب شکن های هرمی مربعی و مثلثی به ابعاد b/D=0/136 و h/D=0/167 به ترتیب برابر ۲۰٪ و ۲۰٪ درصد بوده و بیشترین محدوده افزایش ضریب دی را در مقایسه با آرایش های سه تایی و چهار تایی نسبت به سرریز شاهد از خود نشان دادند. از طرفی در شرایط استغراق، افزایش ابعاد گرداب شکن هرمی تا محدوده ای تاثیر بسزایی در افزایش ضریب دی دارد. این تاثیر در ابعاد بزرگتر گرداب شکن های هرمی مربعی و مثلثی کمتر شده، طوریکه میانگین عملکرد سرریز در گرداب شکن هرمی مربعی و مثلثی به ابعاد b/D=0/208 و h/D=0/170 برابر ۶٪ در هر سه نوع آرایش می شود و افزایش ابعاد گرداب شکن هرمی در مقایسه با افزایش تعداد آن مانع از تاثیر آن بر افزایش ضریب دی خواهد شد. همچنین در این ابعاد، آرایش شش تایی در مقایسه با آرایش چهارتایی رویکرد یکسانی نشان داد. بنابراین افزایش ابعاد گرداب شکن های هرمی مربعی و مثلثی از یک حد به بعد در آرایش شش تایی، با وجود اصلاح جریان در شرایط استغراق خود به صورت



شکل ۱۵. تغییرات ضریب دبی نسبت به عدد فرود با ۳ گردابشکن هرمی
Fig. 15. Variation of discharge coefficient versus Froude Number for 3 pyramidal vortex breaker



شکل ۱۶. تغییرات ضریب دبی نسبت به عدد فرود با ۴ گردابشکن هرمی
Fig. 16. Variation of discharge coefficient versus Froude Number for 4 pyramidal vortex breaker



شکل ۱۷. تغییرات ضریب دبی نسبت به عدد فرود با ۶ گردابشکن هرمی
Fig. 17. Variation of discharge coefficient versus Froude Number for 6 pyramidal vortex breaker

که این معادلات برای $0/083 \leq b/D \leq 0/208$ و $0/068 \leq h/D \leq 0/17$ و $0/115 \leq H/D \leq 0/621$ معتبر است. به منظور بررسی خطأ و دقت هر یک از معادلات مذکور علاوه بر محاسبه ضریب تبیین^۱ (R^2)، از مقادیر مجذور میانگین خطأ^۲ (MSE)، میانگین خطای مطلق^۳ (MAE) جذر میانگین مربعات خطأ^۴ (RMSE)، جذر میانگین مربعات خطای نرمال^۵ شده (NRMSE)، مجموع مجذور باقیماندها^۶ (RSS) و خطای مطلق نسبی^۷ (RAE) طبق معادلات ۹ الی ۱۴ برای گرداب شکن هرمی مثلثی و مربعی در جدول ۶ محاسبه شد که نتایج جدول نشان دهنده دقت مناسب و خطای بسیار کم برای معادلات مذکور است. همچنین، نتایج ضریب دبی محاسباتی و مشاهداتی در شکل های ۱۸ و ۱۹ برای گرداب شکن هرمی مربعی و مثلثی ارائه شد. همانطور که مشخص است مقادیر ضرایب دبی محاسباتی در برابر ضرایب دبی مشاهداتی با سطح اطمینان ۹۵٪ برای گرداب شکن هرمی مربعی و مثلثی در محدوده تغییرات ± 10 درصد قرار دارند و معادلات به دست آمده محدوده وسیعی از داده های مشاهداتی را دربر می گیرند. در جدول ۷ و شکل ۲۰، مقایسه نتایج این پژوهش با تحقیقات قبلی ارائه شد. مقایسه منحنی دبی-اشل تحقیق حاضر با پژوهش های کشکولی و همکاران [۱۴] و موسوی جهرمی و همکاران [۱۶] در بخش کنترل روزنه با آرایش شش تایی، نشان می دهد که گرداب شکن های هرمی در افزایش دبی عبوری موثر تر از گرداب شکن های منشوری و منشوری زاویه دار می باشد. همچنین مطابق جدول ۶ از مقایسه محدوده ضریب دبی کشکولی و همکاران [۱۴]، موسوی جهرمی و همکاران [۱۶] و نوحانی و جمالی امام قیس و نوحانی [۲۰]، می توان به وسیع تر بودن محدوده عمق استغراق و ضریب دبی پژوهش حاضر اشاره نمود که دلیل آن نقش بیشتر گرداب شکن های هرمی در اصلاح مسیر جريان گردابی و افزایش ضریب دبی در مقایسه با گرداب شکن های منشوری می باشد.

$$MSE = \frac{1}{n} \sum_{i=1}^n (C_{d(measured)} - C_{d(estimated)})^2 \quad (9)$$

-
- | | |
|---|---------------------------------|
| 1 | - R-Squared |
| 2 | - Mean Square Error |
| 3 | - Mean absolute Error |
| 4 | - Root Mean Square Error |
| 5 | - Normal Root Mean Square Error |
| 6 | - Residual Sum of Squares |
| 7 | - Relative Absolute Error |

جدول ۶. مقادیر خطای معادلات تجربی ارائه شده برای گردابشکن هرمی مثلثی و مربعی
Table 6. Errors analysis of the developed equations for triangular and square pyramidal vortex breaker

	MSE	MAE	RMSE	NRMSE	RSS	RAE	R ²
معادله ۷ (گردابشکن هرمی مثلثی)	0/00001186	0/0027	0/0034	0/001	0/006	0/005	0/99
معادله ۸ (گردابشکن هرمی مربعی)	0/0001	0/0084	0/0103	0/011	0/017	0/014	0/926

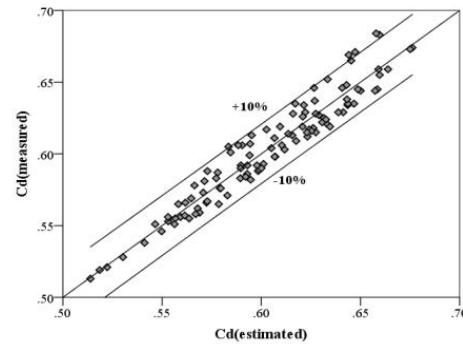
۷-۳-تحلیل حساسیت معادلات تجربی ضریب دبی سرریز نیلوفری با گرداب شکن هرمی

برای بررسی حساسیت ضریب دبی نسبت به هر یک از عوامل بی بعد موثر و ارزیابی اینکه کدام یک در برآورد ضریب دبی سرریز دارای اولویت بیشتری هستند، تحلیل حساسیت با استفاده از نرم افزار آماری SPSS انجام شد. در هر مرحله با حذف تک تک عوامل بی بعد آماری SPSS انجام شد. در هر مرحله با حذف تک تک عوامل بی بعد آماری F_r, n, h/D, b/D, H/D از معادلات تجربی ۷ و ۸، کمیت های مقادیر NRMSE, MAE و RMSE مطابق جدول ۸ ارزیابی شد.

مقادیر NRMSE, MAE و RMSE میزان حساسیت معادله تجربی ضریب دبی با گرداب شکن هرمی مثلثی(معادله ۷) به ترتیب نسبت به عمق استغراق، ضخامت و ارتفاع گرداب شکن هرمی مثلثی، تعداد گرداب شکن و عدد فروود است. همچنین میزان حساسیت معادله تجربی ضریب دبی با گرداب شکن هرمی مربعی (معادله ۸) به ترتیب نسبت به تعداد گرداب شکن، ضخامت و ارتفاع گرداب شکن هرمی مربعی، عمق استغراق و عدد فروود می باشد.

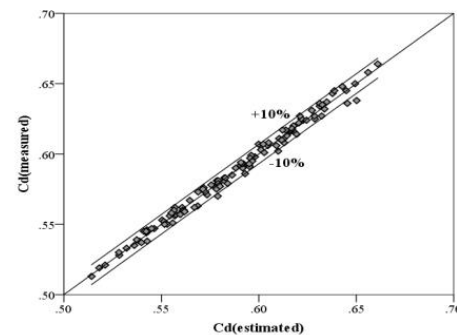
۴-نتیجه گیری

در این تحقیق با ساخت مدل فیزیکی سرریز نیلوفری، تاثیر گرداب شکن های هرمی در ابعاد و آرایش های مختلف بر ضریب دبی سرریز برای کنترل روزنه (شرایط استغراق)، مورد آزمایش قرار گرفت. نتایج نشان داد که نصب گرداب شکن های هرمی مربعی و مثلثی در تاج سرریزهای نیلوفری در مقایسه با حالت بدون گرداب شکن هرمی بر افزایش ضریب دبی بسیار موثر می باشند. نتایج حاصله در آرایش شش تایی نشان داد که میانگین عملکرد سرریز برای گرداب شکن هرمی مربعی به ابعاد b/D=0/102 و h/D=0/125 برابر ۱۳/۱۶٪ و برای گرداب شکن های هرمی مربعی و مثلثی به ابعاد b/D=0/167 و h/D=0/136 برابر ۲۰/۱۴ و ۸۰/۱۱ درصد بوده و بیشترین محدوده افزایش ضریب دبی را در مقایسه با آرایش های



شکل ۱۸. مقایسه نتایج ضریب دبی مشاهداتی و محاسباتی در گردابشکن هرمی مربعی

Fig. 18. Measured versus estimated data of discharge coefficient for square pyramidal vortex breaker



شکل ۱۹. مقایسه نتایج ضریب دبی مشاهداتی و محاسباتی در گردابشکن هرمی مثلثی

Fig. 19. Measured versus estimated data of discharge coefficient for triangular pyramidal vortex breaker

$$MAE = \frac{1}{n} \sum_{i=1}^n |C_{d(measured)} - C_{d(estimated)}| \quad (10)$$

$$RMSE = \sqrt{\frac{1}{n} \sum_{i=1}^n (C_{d(measured)} - C_{d(estimated)})^2} \quad (11)$$

$$NRMSE = \frac{RMSE}{\bar{C}_{d(measured)}} \quad (12)$$

$$RSS = \sum_{i=1}^n (C_{d(measured)} - C_{d(estimated)})^2 \quad (13)$$

جدول ۷. مقایسه محدوده ضریب دبی تحقیق حاضر با پژوهش‌های پیشین در آرایش شش تابی

Table 7. Comparing discharge coefficient of the present study in group of six with previous researches

محدوده ضریب دبی	محدوده عمق استغراق	نوع گرداب‌شکن	محقق
$0/03 \leq C_d \leq 0/31$	$0/3 \leq H/D \leq 0/4$	منشوری	کشكولی و همکاران (2013)
$0/511 \leq C_d \leq 0/622$	$0/109 \leq H/D \leq 0/151$	منشوری با زاویه ۴۵ درجه	موسوی جهرمی و همکاران (2016)
$0/48 \leq C_d \leq 0/54$	$0/17 \leq H/D \leq 0/25$	منشوری مستطیلی	نوحانی و جمالی امام قیس (1394)
$0/42 \leq C_d \leq 0/58$	$0/163 \leq H/D \leq 0/363$	منشوری مثلثی	
$0/605 \leq C_d \leq 0/684$	$0/129 \leq H/D \leq 0/583$	هرمی مربعی نوع دوم	
$0/59 \leq C_d \leq 0/674$	$0/126 \leq H/D \leq 0/583$	هرمی مربعی نوع سوم	
$0/579 \leq C_d \leq 0/664$	$0/128 \leq H/D \leq 0/583$	هرمی مثلثی نوع سوم	تحقیق حاضر

جدول ۸. نتایج تحلیل حساسیت معادلات تجربی ضریب دبی (۷ و ۸) با گرداب‌شکن هرمی مثلثی و مربعی

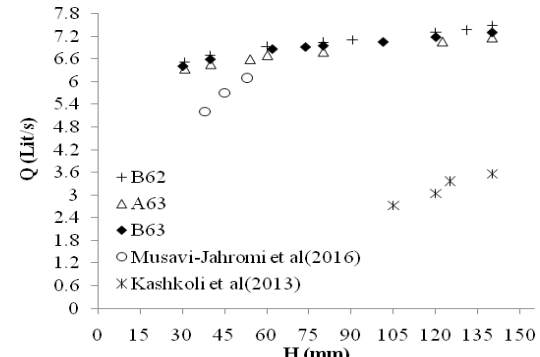
Table 8. Sensitive analysis of the developed equations of discharge coefficient (7 & 8) for triangular and square pyramidal vortex breaker

هرمی مربعی					هرمی مثلثی					حذف
F _r	n	h/D	b/D	H/D	F _r	n	h/D	b/D	H/D	MAE
0/0086	0/0157	0/0141	0/0141	0/0109	0/0030	0/0068	0/0109	0/0119	0/0128	MAE
0/0105	0/0176	0/0171	0/0171	0/0136	0/0039	0/0082	0/0122	0/0137	0/0161	RMSE
0/0175	0/0291	0/0283	0/0283	0/0225	0/0067	0/0140	0/0210	0/0233	0/0275	NRMSE

با گرداب‌شکن‌های هرمی مربعی و مثلثی استخراج شد. حذف هر یک از عوامل تاثیرگذار در این معادلات برای بخش کنترل روزنه نشان داد که میزان حساسیت معادله تجربی ضریب دبی با گرداب‌شکن هرمی مثلثی به ترتیب برای عمق استغراق، ابعاد گرداب‌شکن هرمی مثلثی، تعداد گرداب‌شکن و عدد فرود است. همچنین میزان حساسیت معادله تجربی ضریب دبی با گرداب‌شکن هرمی مربعی به ترتیب برای تعداد گرداب‌شکن، ابعاد گرداب‌شکن هرمی مربعی، عمق استغراق و عدد فرود می‌باشد.

۶- فهرست علائم

علائم انگلیسی
دبی جریان، m^3/s
ضریب دبی سرریز
قطر تاج سرریز، ساعت تاج سرریز، طول تاج سرریز، m
ساعت تبدیل سرریز، قطر تبدیل سرریز، m
مساحت تبدیل سرریز، m^2
ارتفاع آب روی تاج، m
ارتفاع از سطح آب روی تاج تا تبدیل، m
شتان نقل، m^2/s
سرعت، m/s
یال، ارتفاع، ضخامت و عرض گرداب‌شکن، m
تعداد گرداب‌شکن
عدد ریوندز، عدد ویر، عدد فرود
مجنور میانگین خطای مطلق
میانگین خطای مطلق
جزر میانگین مرباعات خطای



شکل ۲۰. مقایسه منحنی دبی - اسل تحقیق حاضر با پژوهش‌های پیشین در آرایش شش تابی

Fig. 20. Comparing head discharge rating variations of the present study in group of six with previous researches

سه تایی و چهار تایی نسبت به سرریز شاهد از خود نشان دادند. در شرایط استغراق، افزایش ابعاد گرداب‌شکن هرمی مربعی تا محدوده ای تاثیر بسزایی در افزایش ضریب دبی دارد، طوریکه میانگین عملکرد b/D=0/208 و h/D=0/170 برابر ۴/۶٪ الی ۷٪ در هر سه نوع آرایش می‌شود و افزایش ابعاد گرداب‌شکن هرمی مربعی در مقایسه با افزایش ضریب دبی خواهد شد.

در نهایت معادلات تجربی بهینه برای ضریب دبی سرریز نیلوفری

Hydraulic Engineering, 112(7) (1986) 610-620.

- [11] C.A. Fattor, J.D. Bacchigia, Analysis of instabilities in the change of regime in morning-glory spillways, in: PROCEEDINGS OF THE CONGRESS-INTERNATIONAL ASSOCIATION FOR HYDRAULIC RESEARCH, 2001, pp. 656-662.
- [12] M. Tavana, S. Moosavi-Jahromi, M. Shafai-Bajestan, A. Masjedi, H. Sedghi, Optimazation of number and direction of vortex breakers in the morning glory spillway using physical mode, Ecology, Enviroment and Conservation Journal (Eco. Env. & Cons.), 17(2) (2011) 435-440.
- [13] S.R. Mousavi, A.A. Kamanbedast, H. Fathian, Experimental investigation of the effect of number of anti-vortex piers on submergence threshold in morning glory spillway with square inlet, Technical Journal of Engineering and Applied Sciences, 3(24) (2013) 3534-3540.
- [14] H. Kashkoli, H. Sedghi, H.M. Jahromi, R. Aghamajidi, Simultaneous Study Effect of Guide Pier and Stepped Chamber on Hydraulic Behavior of Morning Glory Spill Way, World Applied Sciences Journal, 21(4) (2013) 548-557.
- [15] E. Nohani, An Experimental Study on the Effect of Vortex Breakers on Discharge Coefficient for the Shaft Spillways with Sharp Edge and Wide Edge, Journal of Civil Engineering and Urbanism, 4(5) (2014) 546-549.
- [16] S.H. Musavi-Jahromi, G. Hajipour, M. Eghdam, Discharge coefficient in the morning glory spillways due to longitudinal angles of vortex breakers, Bulletin of Environment, Pharmacology and Life Sciences, 5(5) (2016) 34-41.
- [17] S.H. Musavi-Jahromi, K. Alasti, Effect of Vortex Breakers on Flow Regime of Morning Glory Spillway, in: 1st Irrigation and Drainage Network Management National Conference, Shahid Chamran University of Ahvaz, Iran, 2006, pp. 1-6 (In persian).
- [18] E. Nohani, S.H. Musavi-Jahromi, Effect of Number and Thickness of Vortex Breaker Blades on the Coefficient Discharge of the Morning Glory Spillway, in: National

جذر میانگین مربعات خطای نرمال شده	<i>NRMSE</i>
مجموع مجذور باقیمانده ها	<i>RSS</i>
خطای مطلق نسبی	<i>RAE</i>
ضریب تبیین	<i>R²</i>
علائم یونانی	
kg/m ³	ρ
N/m	σ
N.s/m ²	μ
زیرنویس	
i,j	اندیس گرداب شکن ها
بالانویس	
*	شرایط نویسندها

مراجع

- [1] A. Afshar, G.R. Niksefat, Design of Hydraulic Structures of Small Dams, Iran University of Science and Technology, Tehran 1994 (In persian).
- [2] U.S.B.o. Reclamation, Design of small dams, US Department of the Interior, Bureau of Reclamation, Washington D.C, 1987.
- [3] G. Christodoulou, A. Mavrommatis, T. Papathanassiadis, Experimental study on the effect of piers and boundary proximity on the discharge capacity of a morning glory spillway, in: 1st IAHR European Congress, Edinburgh, Scotland, Edinburgh, Scotland, 2010.
- [4] H.O. Anwar, Formation of a weak vortex, Journal of Hydraulic Research, 4(1) (1966) 1-16.
- [5] M.C. Quick, Efficiency of air-entraining vortex formation at water intake, Journal of the Hydraulics Division, 96(7) (1970) 1403-1416.
- [6] P.B. Zielinski, Effect of viscosity on vortex orifice flow, Journal of the Hydraulics Division, 94(3) (1968) 745-752.
- [7] L.L. Daggett, G.H. Keulegan, Similitude conditions in free-surface vortex formations, Journal of Hydraulics Division, 100(11) (1974) 1565-1581.
- [8] H.O. Anwar, J.A. Weller, M.B. Amphlett, Similarity of free-vortex at horizontal intake, Journal of Hydraulic Research, 16(2) (1978) 95-105.
- [9] A.K. Jain, R.J. Garde, K.G. Ranga Raju, Vortex formation at vertical pipe intakes, Journal of the Hydraulics Division, 104(10) (1978) 1429-1445.
- [10] A.J. Odgaard, Free-surface air core vortex, Journal of

- Geometry of Headrace Channel on Vortex and Discharge coefficient. Iranian, J. Agricultural Sci., , 35(3) (2004) 10 (In persian).
- [21] A. Kabiri-Samani, S. Borghei, Effects of anti-vortex plates on air entrainment by free vortex, Scientia Iranica, 20(2) (2013) 251-258.
- [22] R. Shemshi, A. Kabiri-Samani, Swirling flow at vertical shaft spillways with circular piano-key inlets, Journal of Hydraulic Research, 55(2) (2017) 248-258.
- Conference on Water, Soil, Plant and Mechanization of Agriculture, Islamic Azad University, Dezful Branch, 2010 pp. 1-7 (In persian).
- [19] E. Nohani, R. Jamali-Emamgheis, Experimemntal Investigation the Efffect of Vortex Breakers Shape on Discharge Efficiency for the Morning Glory Spillways, Iranian Journal of Irrigation and Drainage, 9(5) (2015) 741-749 (In persian).
- [20] M. Zomorredian, M. Shojaeian, Effect of the

چگونه به این مقاله ارجاع دهیم

F. Sayadzadeh, S.H. Musavi-Jahromi, H. Sedghi, A. Khosrojerdi, Experimental Study of Pyramid Vortex Breakers Effect on the Discharge Coefficient of Submerged Morning Glory Spillway, Amirkabir J. Civil Eng., 52(5) (2020) 1093-1108.

DOI: [10.22060/ceej.2019.15213.5853](https://doi.org/10.22060/ceej.2019.15213.5853)



